



УДК 577.113.6

РЕАГЕНТЫ ДЛЯ ВВЕДЕНИЯ В ОЛИГОНУКЛЕОТИДЫ ФЛУОРЕСЦЕНТНОГО 2-ФЕНИЛБЕНЗОКСАЗОЛЬНОГО ПРОИЗВОДНОГО ДЕЗОКСИУРИДИНА

© 1998 г. Е. В. Малахова, А. Д. Малахов, С. В. Кузницова, О. П. Варнавский*,
А. П. Кадуцкий**, Д. Т. Кожич***, В. А. Коршун, Ю. А. Берлин#

Институт биоорганической химии им. М.М. Шемякина и Ю.А. Овчинникова РАН,
117871, Москва, ГСП-7, ул. Миклухо-Маклая, 16/10;

* Физический институт им. П.Н. Лебедева РАН, Москва;

** Институт физико-органической химии НАНБ, Минск;

*** Медико-биотехнологический институт при концерне "Белбиофарм", Минск

Поступила в редакцию 06.04.98 г. Принята к печати 25.05.98 г.

С помощью реакции Хека–Соногаширы синтезирован новый флуоресцентный нуклеозид 5-[4-(2-бензоксазолил)фенил]этинил-2'-дезоксиуридин и на его основе получены реагенты для мечения олиго-нуклеотидов – твердофазный носитель и 3'-амидофосфит.

Ключевые слова: модифицированные нуклеозиды; 2-фенилбензоксазол.

Возрастающий интерес к химии 5-(алкин-1-ильных) производных пиримидиновых нуклеозидов обусловлен в основном двумя полезными свойствами этих соединений.

Во-первых, алкинсодержащий заместитель в положении 5 оказался превосходным линкером для присоединения флуоресцентных красителей к 5'-трифосфатам ddU и ddC с точки зрения их субстратных свойств в ДНК-полимеразной реакции и использования в автоматизированных системах секвенирования ДНК [2–5].

Во-вторых, поскольку 1-алкин-1-ильные (в частности, пропинильные) заместители в этом положении оказывают существенное стабилизирующее влияние на ДНК–ДНК- и ДНК–РНК-дуплексы (см. обзоры [6, 7]), модифицированные таким образом нуклеозиды находят применение в качестве компонентов антисмыловых реагентов (см., например, [8–14]), причем в этом случае введение модифицированных нуклеозидов в олиго-нуклеотиды осуществляется в стандартных условиях химического синтеза.

Сайт-специфическое введение флуорофоров в синтетические олигонуклеотиды представляет интерес с точки зрения применения таких конъюгатов в качестве инструментов структурных исследований нукleinовых кислот, в частности,

использованием резонансного безызлучательного переноса энергии (fluorescence resonance energy transfer, FRET) (см. обзоры [15–19], [20] и цитированные там работы). Поэтому весьма перспективным представляется присоединение красителей к нуклеозидам таким образом, чтобы модифицированный нуклеозид мог быть введен в стандартный олигонуклеотидный синтез и чтобы модификация существенно не нарушала специфичности узнавания и прочности связывания конъюгата с комплементарной последовательностью.

В рамках проводимых нами исследований флуоресцентных производных нуклеозидов, в которых флуорофор π -сопряжен с гетероциклическим основанием через тройную связь [1], представляло интерес получение такого 2-фенилбензоксазольного производного. Как сам 2-фенилбензоксазол, так и его производные флуоресцируют в ближней УФ/видимой области и обладают высокими квантовыми выходами флуоресценции [21]. Интересным свойством 2-арилбензоксазолов является также способность к фотохимической димеризации по C=N-связи в соответствующие 1,3-диазетидины [22–24].

В данной работе мы описываем синтез 5-[4-(2-бензоксазолил)фенил]этинил-2'-дезоксиуридина (IX) и реагентов на его основе для твердофазного амидофосфитного олигонуклеотидного синтеза.

Наиболее удобным методом получения 5-(алкин-1-ильных) производных 2'-дезоксиуридина является взаимодействие соответствующего 5-иод-

Предыдущее сообщение см. [1].

Сокращения: DMAP – 4-диметиламиноипиридин, DMT – 4,4'-диметокситритил, LCAA-GPG – аминоалкилированное стекло с определенным размером пор.

Автор для переписки (e-mail: yuber@ibch.sioibc.ras.ru).

производного нуклеозида с терминальными алкинами в условиях реакции Хека–Соногаширы, предусматривающих использование комплексного палладиево-медного катализатора (см. обзор [25]).

Необходимый 2-(4-этинилфенил)бензоксазол (III) был синтезирован двумя путями (схема 1). Оба метода включают в себя сочетание галогенарена (I) с монозащищенным ацетиленом и последующее деблокирование продукта реакции Хека–Соногаширы с образованием целевого терминального алкина (III).

В первом методе был использован 2-(4-иодфенил)бензоксазол (Ia) и довольно дорогие реагенты – триметилсилилацетилен, $\text{Pd}(\text{PPh}_3)_4$ и Bu_4NF . В этом случае обе стадии гладко протекают при комнатной температуре, промежуточное вещество (II) легко выделяется, и выход соединения (III) высокий.

Во втором методе исходили из броманалога (Ib), который был синтезирован конденсацией 2-аминофенола с 4-бромбензальдегидом с последующей окислительной циклизацией образовавшегося альдимина под действием иодозобензолдиацетата в условиях, аналогичных описанным в

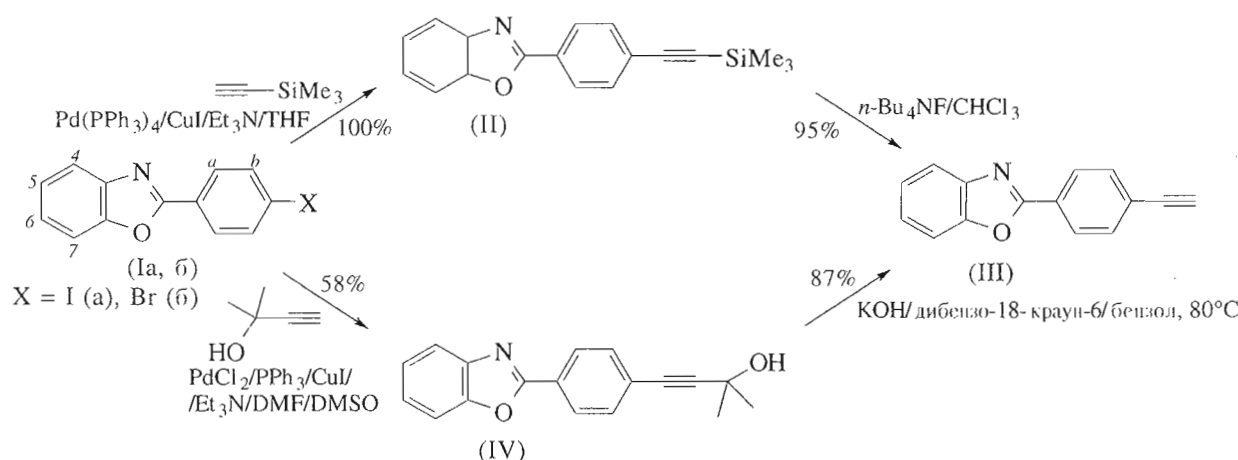


Схема 1.

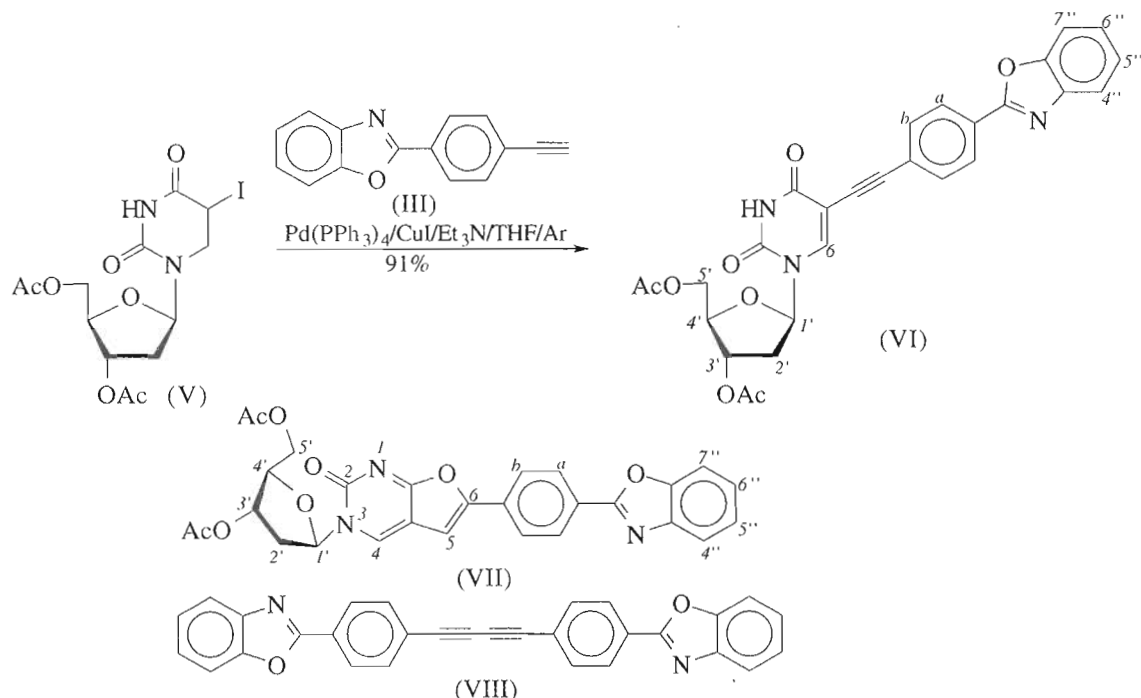


Схема 2.

работе [26]. В этом случае при синтезе этинильного производного интермедиат (IV) нуждается в более трудоемкой очистке, для деблокирования требуется нагревание, и общий выход алкина (III) несколько ниже. Однако существенно меньшая стоимость реагентов делает этот путь более привлекательным для крупномасштабного синтеза.

Алкинилирование нуклеозида проводили взаимодействием 3',5'-ди-*O*-ацетил-5-иод-2'-дезоксиуридуна (V) с алкином (III) в тетрагидрофuranе в присутствии Pd(PPh₃)₄, CuI и триэтила амина (схема 2) при комнатной температуре в течение 12 ч. В результате с высоким выходом был получен нормальный продукт сочетания – 3',5'-ди-*O*-ацетил-5-[4-(2-бензоксазолил)фенил]этинил-2'-дезоксиуридин (VI), причем дальнейшая гетеропирамидизация целевого вещества практически не происходила – побочный фуропиримидон (VII) образовывался лишь в следовых количествах.

В реакцию Хека–Соногаширы алкин (IV) вводили в небольшом (20%) избытке, поскольку он даже при тщательном удалении кислорода час-

тично расходовался на образование продукта окислительной димеризации – 1,4-бис[4-(2-бензоксазолил)фенил]бутадиена (VIII), слабо растворимого в большинстве органических растворителей.

Использование диацетильного производного 5-иод-2'-дезоксиуридуна в реакции сочетания целесообразно из-за хорошей растворимости продукта реакции (VI), который легко может быть выделен хроматографией на силикагеле. Дезацетилирование вещества (VI) водно-диоксановым раствором аммиака дает 5-[4-(2-бензоксазолил)фенил]этинил-2'-дезоксиуридин (IX) с количественным выходом (схема 3). Сочетание 5-иод-2'-дезоксиуридуна с алкином (III) в подходящем растворителе (DMF/DMSO) сразу приводит к целевому продукту (IX), но из-за малой растворимости его выделение и очистка от бутадиена (VIII) даже в небольших масштабах затруднительна.

Модифицированный нуклеозид (IX) может быть введен в состав олигонуклеотидов и использован в качестве флуоресцентной метки с потенци-

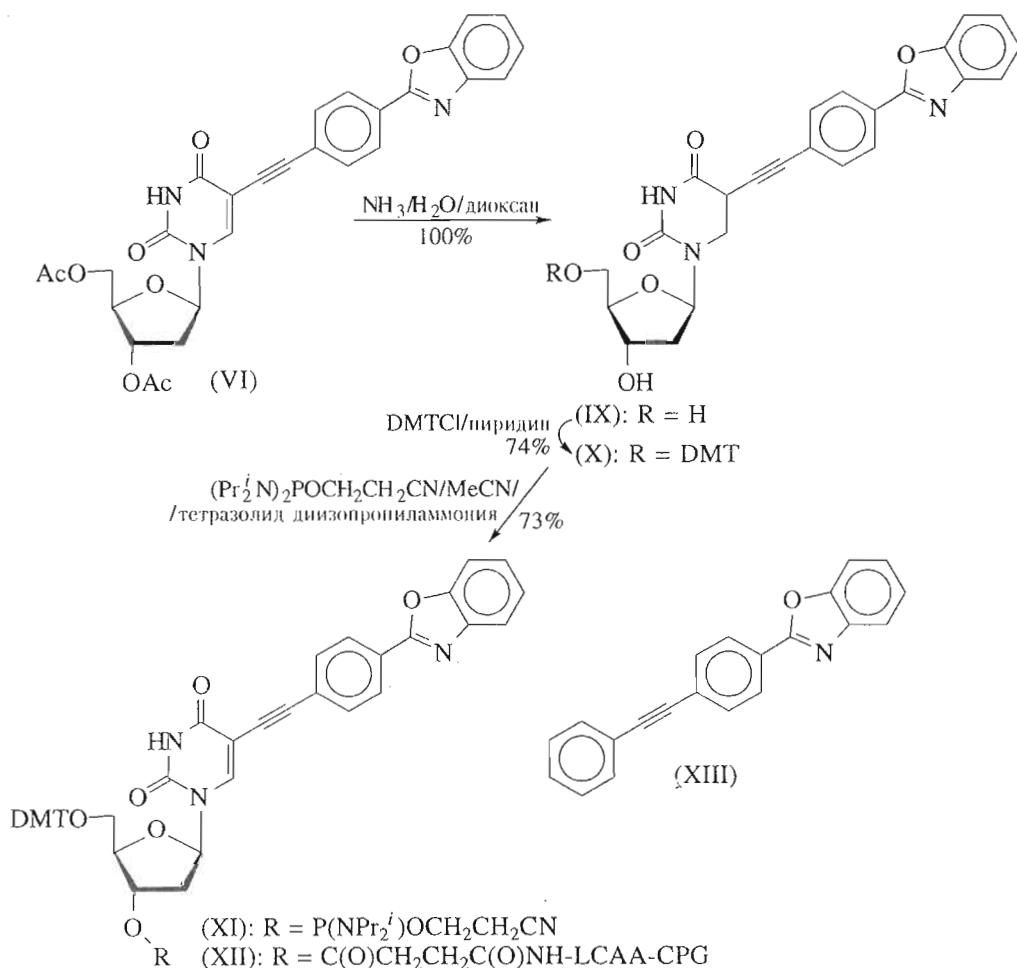


Схема 3.

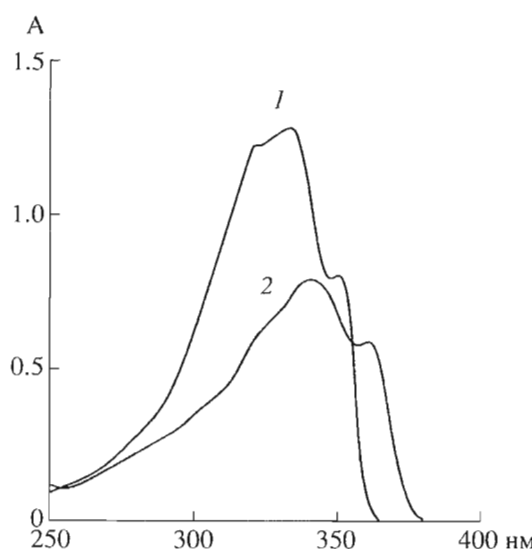


Рис. 1. УФ-спектры 2-[4-(фенилэтинил)фенил]бензоксазола (XIII) (1) и 3',5'-ди-*O*-ацетил-5-[4-(2-бензоксазолил)фенил]этинил-2'-дезоксиуридина (VI) (2) в THF, концентрации 2×10^{-5} М, $l = 1$ см.

альной зависимостью спектра флуоресценции от микроокружения, в том числе от комплементарного взаимодействия нуклеиновых кислот. На схеме 3 представлены синтезы амидофосфитного реагента (XI) из нуклеозида (IX) по методикам, используемым для обычных нуклеозидов [27], и носителя (XII) по методу [28].

В качестве модельного соединения сочетанием 2-(4-иодфенил)бензоксазола (Ia) с фенилацетиленом синтезирован 2-[4-(фенилэтинил)фенил]бензоксазол (4-(2-бензоксазолил)толан) (XIII), который является аналогом соединений (VI) и (IX)–(XI), содержащим фенильный остаток вместо нуклео-

зидного. При сравнении спектров поглощения веществ (VI) и (XIII) в тетрагидрофуране (рис. 1) видно, что при замене фенильного остатка на нуклеозидный общий вид спектра сохраняется, но происходит небольшой (7–10 нм) батохромный сдвиг и примерно полуторакратное уменьшение молярного коэффициента поглощения.

Флуоресцентные свойства 2-фенилбензоксазола в составе нуклеозидов сохраняются. При сравнении эмиссионных спектров защищенного нуклеозида (VI) и модельного 4-(2-бензоксазолил)толана (XIII) в THF (рис. 2) видно, что при одинаковых концентрациях интенсивность эмиссии нуклеозидного производного больше, чем фенильного (при этом молярный коэффициент поглощения (ϵ_{337}) у толана (XIII) в 1.5 раза больше). Спектр флуоресценции нуклеозида (VI) неструктурирован (состоит из одной широкой полосы), однако при 10-кратном разбавлении приобретает выраженную структуру и большее сходство со спектром модельного соединения.

ЭКСПЕРИМЕНТАЛЬНАЯ ЧАСТЬ

В работе использованы 2-аминофенол, 1,3-диизопропилкарбодимид, 4-диметиламинопиридин (DMAP), 2-метил-3-бутил-2-ол, Bu_4N^+ (Fluka), диметокситритилюорид, trimethylsilylacetilen, CuI, Pd(PPh₃)₄ (Aldrich); остальные реагенты и растворители – отечественного производства квалификации “ч.” и “ч. д. а.”. Тетрагидрофуран перегоняли над натрийбензофенонкетилом и хранили над натрием. 3',5'-Ди-*O*-ацетил-5-иод-2'-дезоксиуридин [29] и 2-цианэтоксибисдизопропиламинофосфин и тетразолид дизопропиламмония [27], а также 2-(4-иодфенил)бензоксазол [30] синтезировали, как описано в литературе. За ходом реакций следили с помощью ТСХ. Растворы высушива-

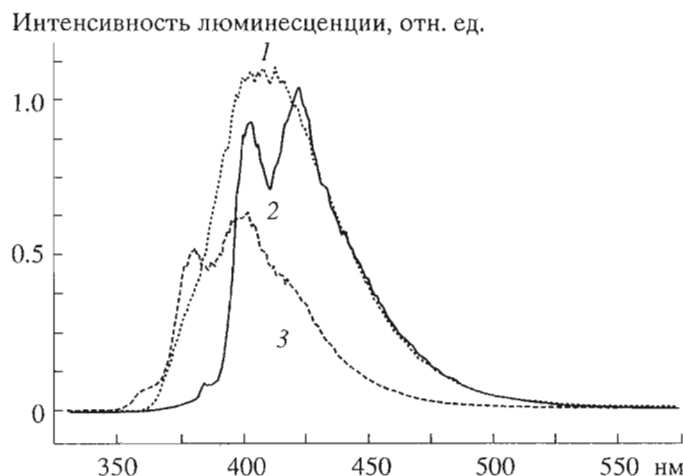


Рис. 2. Эмиссионные спектры 3',5'-ди-*O*-ацетил-5-[4-(2-бензоксазолил)фенил]этинил-2'-дезоксиуридина (VI), концентрации 2×10^{-5} М (1), 2×10^{-6} М (2), и 2-[4-(фенилэтинил)фенил]бензоксазола (XIII), концентрация 2×10^{-5} М (3) в THF.

ли Na_2SO_4 , упаривание растворителей проводили на роторном испарителе в вакууме водоструйного насоса при температуре бани 30–50°C.

Температуры плавления определяли на нагревательном столике Boetius (не исправлены). Для ТСХ использовали пластиинки Kieselgel 60 F₂₅₄ (Merck); пятна визуализировали в УФ-свете при 256 или 360 нм. Для колоночной хроматографии использовали силикагель Kieselgel 60 (Merck), размер частиц 40–63 мкм, или оксид алюминия (Merck), активность II, размер частиц 40–100 мкм. Спектры ^1H -ЯМР регистрировали на приборе Bruker AC-500 (шкала δ, приведены химические сдвиги относительно тетраметилсилана, внутренний стандарт – примесь протонов в дейтерированых растворителях; приведены КССВ в герцах). Спектр ^{31}P -ЯМР зарегистрирован на приборе Varian XR-400, рабочая частота для ^{31}P 161.9 МГц, шкала δ, химические сдвиги приведены относительно 85% H_3PO_4 . Масс-спектры получали на приборе Varian-MAT-44S (ионизация электронным ударом). УФ-спектры регистрировали на спектрофотометре Shimadzu OPC-65. Спектры флуоресценции регистрировали на оптическом многоканальном анализаторе Princeton Applied Research OMA-2 с монохроматором Jobin-Yvon HR-320, для возбуждения использовался азотный лазер ЛГ-21 с длиной волны 337 нм.

2-(4-Бромфенил)бензоксазол (Iб). 2-Аминофенол (5.0 г, 46 ммоль) при нагревании растворили в этаноле (30 мл) и к полученному раствору прибавили горячий раствор 4-бромбензальдегида (9.436 г, 51 ммоль) в этаноле (20 мл). Реакционную массу охладили до комнатной температуры и выпавший осадок перекристаллизовали из этанола. Выход основания Шиффа 12.16 г (96%); масс-спектр, m/z^+ : 275, рассчитано 276.14 ($\text{C}_{13}\text{H}_{10}\text{BrNO}$). Выделенный альдимин растворили при нагревании в ацетонитриле (100 мл) и к полученному раствору прибавили иодобензолдиacetat (21.26 г, 66 ммоль). Реакционную смесь нагрели до кипения и медленно охладили до комнатной температуры, затем упарили досуха и остаток хроматографировали на Al_2O_3 в системе бензол–гексан, 7 : 3. Выход соединения (Iб) 12.0 г (100% на основание Шиффа); т. пл. 154°C (гексан) (т. пл. 154–155°C [30]); R_f 0.38 (бензол). Масс-спектр, m/z^+ : 275, 273; рассчитано 274.12 ($\text{C}_{13}\text{H}_8\text{BrNO}$). ^1H -ЯМР (CDCl_3): 8.15 (д, 2H, J 8.1, Ha), 7.78 (м, 1H, H-4), 7.69 (д, 2H, J 8.1, Hb), 7.58 (м, 1H, H-7), 7.37 (м, 2H, H-5, H-6).

2-(4-Триметилсилилэтинилфенил)бензоксазол (II). К раствору 2-(4-иодфенил)бензоксазола (Iа) (получен аналогично соответствующему бромиду [30]) (0.90 г, 2.8 ммоль) в THF (15 мл) при перемешивании в атмосфере аргона последовательно прибавили триметилсилилацетилен (0.5 мл, 3.54 ммоль), Et_3N (0.80 мл, 5.74 ммоль), CuI (53 мг, 0.28 ммоль) и $\text{Pd}(\text{Pb}_3\text{P})_4$ (162 мг, 0.14 ммоль) и про-

должали перемешивание при комнатной температуре в течение 12 ч. Затем реакционную смесь разбавили хлороформом (150 мл) и последовательно промыли водой (100 мл), 1% раствором лимонной кислоты (100 мл), 3% раствором EDTA- $(\text{NH}_4)_2$ (2×100 мл) и снова водой (100 мл). Органический слой высушили, растворитель упарили и остаток хроматографировали на силикагеле в системе гексан–бензол, 3 : 2. Выход 0.817 г (100%); т. пл. 156–157°C (гексан); R_f 0.36 (бензол). Масс-спектр, m/z^+ : 290; рассчитано 291.42 ($\text{C}_{18}\text{H}_{17}\text{NOSi}$). ^1H -ЯМР (CDCl_3): 8.21 (д, 2H, J 8.2, Ha), 7.78 (м, 1H, H-4), 7.63 (д, 2H, J 8.2, Hb), 7.58 (м, 1H, H-7), 7.37 (м, 2H, H-5, H-6), 0.32 (с, 9H, CH_3).

2-[4-(3-Гидрокси-3-метил-1-бутинил-1)фенил]бензоксазол (IV). К раствору 2-(4-бромфенил)бензоксазола (Iб) (12.0 г, 44 ммоль) в смеси DMF (150 мл) и DMSO (10 мл) в атмосфере аргона прибавили 2-метил-3-бутин-2-ол (13.0 мл, 132 ммоль), Et_3N (12.3 мл, 88 ммоль), CuI (419 мг, 2.2 ммоль), PdCl_2 (612 мг, 2.2 ммоль) и трифенилfosфин (1.731 г, 6.6 ммоль). Реакционную смесь оставили при комнатной температуре на 12 ч, разбавили EtOAc (300 мл) и последовательно промыли водой (5×200 мл), 3% раствором диаммониевой соли EDTA (3×200 мл) и снова водой (200 мл). Органическую фазу высушили, упарили и целевой продукт выделили хроматографией на силикагеле (элюирование градиентом EtOAc (0 → 10%) в бензole). После перекристаллизации из смеси бензол–гексан выход соединения (IV) составил 7.051 г (58%); т. пл. 144–145°C (бензол); R_f 0.50 (бензол– EtOAc , 4 : 1). Масс-спектр, m/z^+ : 275, рассчитано 277.33 ($\text{C}_{18}\text{H}_{15}\text{NO}_2$). ^1H -ЯМР (CDCl_3): 8.21 (д, 2H, J 8.5, Ha), 7.79 (м, 1H, H-4), 7.59 (м, 1H, H-7), 7.56 (д, 2H, J 8.5, Hb), 7.37 (м, 2H, H-5, H-6), 1.65 (с, 6H, CH_3).

2-(4-Этинилфенил)бензоксазол (III). **A.** К раствору 2-[4-(3-гидрокси-3-метил-1-бутинил-1)фенил]бензоксазола (IV) (3.55 г, 13 ммоль) в бензоле (200 мл) прибавили дibenzo-18-краун-6 (1.37 г, 3.8 ммоль) и реакционную смесь нагревали до полного растворения осадка. К полученному раствору прибавили растертый в порошок гидроксид калия (2.157 г, 0.038 моль) и реакционную смесь оставили при комнатной температуре на 12 ч. Затем осадок отфильтровали, фильтрат промыли водой (3×100 мл), органический слой высушили и упарили, и остаток хроматографировали на силикагеле в бензоле. Выход этинилфенилбензоксазола (III) 2.48 г (87%); т. пл. 163–165°C (гексан); R_f 0.35 (бензол). Масс-спектр, m/z^+ : 219, 218, рассчитано 219.24 ($\text{C}_{15}\text{H}_9\text{NO}$). ^1H -ЯМР (CDCl_3): 8.23 (д, 2H, J 8.7, Ha), 7.79 (м, 1H, H-4), 7.65 (д, 2H, J 8.7, Hb), 7.59 (м, 1H, H-7), 7.38 (м, 2H, H-5, H-6), 3.24 (с, 1H, $\text{C}\equiv\text{CH}$).

Б. К раствору 2-(4-триметилсилилэтинил)фенилбензоксазола (II) (0.805 г, 2.76 ммоль) в хлороформе (15 мл) прибавили тригидрат тетрабутил-

аммонийфторида (0.938 г, 2.973 ммоль) и смесь оставили на 1 ч при комнатной температуре. Затем реакционную массу разбавили хлороформом (300 мл) и последовательно промыли водой (200 мл), 1% водным раствором лимонной кислоты (100 мл) и снова водой (200 мл). Органический слой высушали и упаривали, и остаток хроматографировали на силикагеле в бензole. Выход соединения (III) 0.577 г (95%).

3',5'-Ди-O-ацетил-5-[4-(2-бензоксазолил)фенил]этинил-2'-дезоксиуридин (VI). К раствору 3',5'-ди-O-ацетил-5-иод-2'-дезоксиуридина (V) (0.749 г, 1.71 ммоль) в THF (15 мл) в атмосфере аргона прибавили 2-(4-этинилфенил)бензоксазол (III) (0.450 г, 2.052 ммоль), Et₃N (0.5 мл, 3.59 ммоль), CuI (0.033 г, 0.17 ммоль) и Pd(Ph₃P)₄ (0.149 г, 0.129 ммоль) и реакционную смесь оставили на 12 ч при комнатной температуре. Затем отфильтровали димер (VIII) (135 мг), фильтрат упаривали, остаток растворили в этилацетате (150 мл) и последовательно промывали водой (100 мл), 1% раствором лимонной кислоты (100 мл), 3% раствором диаммониевой соли EDTA (3 × 100 мл) и водой (100 мл). Органический слой высушали и упаривали, и остаток хроматографировали на силикагеле (элюировали градиентом метанола (0 → 5%) в смеси бензол–этилацетат, 85 : 15). Выход соединения (VI) 0.822 г (91%). R_f 0.19 (5% MeOH в бензole). ¹H-ЯМР (CDCl₃): 8.70 (ущ. с, 1H, NH), 8.23 (д, 2H, J 8.6, Ha), 7.93 (с, 1H, H-6), 7.78 (м, 1H, H-4'), 7.63 (д, 2H, J 8.6, Hb), 7.59 (м, 1H, H-7'), 7.37 (м, 2H, H-5", H-6"), 6.33 (дд, 1H, J_{1',2'}α 5.9, J_{1',2'}β 7.5, H-1'), 5.28 (м, 1H, H-3'), 4.42 (д, 2H, J_{4',5'} 3.2, H-5'), 4.33 (м, 1H, H-4'), 2.60 (ddd, 1H, ²J_{2'α,2'β} 14.1, J_{1',2'}α 5.9, J_{2'α,3'} 2.3, H-2'^α), 2.30 (м, 1H, H-2'^β), 2.20 (с, 3H, CH₃), 2.13 (с, 3H, CH₃).

В качестве побочного продукта был выделен (см. выше) **1,4-бис[4-(2-бензоксазолил)фенил]бутадиин-1,3** (VIII), т. пл. 168–170°C (толуол), R_f 0.62 (EtOAc–бензол, 1 : 1). ¹H-ЯМР (CDCl₃): 8.27 (д, 4H, J 8.3, Ha), 7.80 (м, 2H, H-4), 7.70 (д, 4H, J 8.3, Hb), 7.60 (м, 2H, H-7), 7.39 (м, 4H, H-5, H-6).

Был также выделен продукт циклизации 3-(3',5'-ди-O-ацетил-2'-дезокси-β-D-рибофуронон-3-ил)-6-[4-(2-бензоксазолил)фенил]фуро[2,3-d]пиримидин-2-он (VII); R_f 0.24 (2% MeOH в CHCl₃). ¹H-ЯМР (CDCl₃): 8.39 (с, 1H, H-4), 8.34 (д, 2H, J 8.4, Ha), 7.92 (д, 2H, J 8.4, Hb), 7.80 (м, 1H, H-4'), 7.60 (м, 1H, H-7'), 7.38 (м, 2H, H-5", H-6"), 6.88 (с, 1H, H-5), 6.35 (кажущийся т, 1H, J_{1',2'}α = J_{1',2'}β 6.6, H-1'), 5.26 (м, 1H, H-3'), 4.44 (м, 3H, H-4', H-5'), 3.02 (м, 1H, H-2'^α), 2.17 (м, 1H, H-2'^β), 2.14 (с, 3H, CH₃), 2.09 (с, 3H, CH₃).

5-[4-(2-Бензоксазолил)фенилэтинил]-2'-дезоксиуридин (IX). К раствору диацетата (VI) (1.0 г, 2 ммоль) в диоксане (40 мл) прибавили 25% водный раствор аммиака (20 мл), смесь выдержали при комнатной температуре 14 ч и упаривали. Ост-

ток упарили с этанолом (3 × 100 мл) и перекристаллизовали из смеси диоксан–вода. Выход продукта аммонолиза (IX) 0.891 г (100%); R_f 0.28 (10% MeOH в CH₂Cl₂). ¹H-ЯМР (DMSO-d₆): 8.48 (с, 1H, H-6), 8.23 (д, 2H, J 8.2, Ha), 8.23 (м, 2H, H-4", H-7"), 7.71 (д, 2H, J 8.2, Hb), 7.46 (м, 2H, H-5", H-6"), 6.14 (кажущийся т, 1H, J_{1',2'}α = J_{1',2'}β 6.4, H-1'), 5.40 (д, 1H, J 4.0, 3'-ОН), 5.29 (т, 1H, J 4.7, 5'-ОН), 4.29 (м, 1H, H-3'), 3.85 (м, 1H, H-4'), 3.63 (м, 2H, H-5'), 2.19 (м, 2H, H-2').

5'-O-(4,4'-Диметокситритил)-5-[4-(2-бензоксазолил)фенил]этинил-2'-дезоксиуридин (X). 5-[4-(2-бензоксазолил)фенил]этинил-2'-дезоксиуридин (IX) (890 мг, 2 ммоль) дважды упаривали с пиридином (2 × 30 мл), растворили в 80 мл пиридина и раствор упаривали на одну треть. Затем при перемешивании прибавили 4,4'-диметокситритилхлорид (0.946 г, 2.79 ммоль), реакционную смесь выдержали 12 ч при комнатной температуре и упаривали. Маслообразный остаток разбавили этилацетатом (150 мл) и последовательно промывали насыщенными растворами NaHCO₃ (2 × 100 мл) и NaCl (2 × 100 мл). Органический слой высушали и упаривали, а остаток хроматографировали на силикагеле (элюент бензол–этилацетат (10 : 1) + 0.1% Et₃N). Выход 1.117 г (74%); т. пл. 110–112°C (EtOAc); R_f 0.54 (20% MeOH в бензole + 0.1% Et₃N).

5'-O-(4,4'-Диметокситритил)-3'-O-(дизопропиламино-2-цианэтоксифосфинил)-5-[4-(2-бензоксазолил)фенил]этинил-2'-дезоксиуридин (XI). 5'-O-(4,4'-Диметокситритил)-5-[4-(2-бензоксазолил)фенил]-этинил-2'-дезоксиуридин (X) (0.50 г, 0.669 ммоль) дважды упаривали с безводным ацетонитрилом (2 × 30 мл) и остаток растворили в безводном ацетонитриле (80 мл). К полученному раствору при перемешивании прибавили 2-цианэтоксибисдизопропиламинофосфин (0.72 мл, 2.27 ммоль) и тетразолид дизопропиламмония (0.207 г, 1.20 ммоль). Реакционную смесь упаривали на одну треть, выдержали 12 ч при комнатной температуре, разбавили этилацетатом (150 мл) и последовательно промывали насыщенными растворами NaHCO₃ (3 × 100 мл) и NaCl (2 × 100 мл). Органический слой высушали и упаривали, а остаток хроматографировали на силикагеле в смеси бензол–этилацетат (0 → 100% EtOAc) + 3% Et₃N. Выход амидоfosfita (XI) 465 мг (73%). R_{f1} 0.74, R_{f2} 0.63 (диастереомеры). ³¹P-ЯМР (CD₃CN): 151.896, 151.832 (диастереомеры, ~2 : 1).

Модифицированный носитель (XII). Носитель 500 Å LCAA-CPG (300 мг), ацилированный янтарным ангидридом по методу [28], суспендировали в смеси DMF–пиридин (1 : 1; 4 мл), содержащей монотритилированный нуклеозид (X) (187 мг, 0.25 ммоль), 1,3-дизопропилкарбодиимид (280 мкл, 1.8 ммоль) и DMAP (20 мг), и выдержали 48 ч при комнатной температуре. Затем прибавили раствор пентафторменола (100 мг) в пи-

ридине (1 мл), смесь выдержали еще 12 ч, носитель отфильтровали, суспендировали в 5% растворе пиrrолидина в пиридине (3 мл), выдержали 10 мин, носитель отфильтровали и последовательно промыли хлороформом, метанолом, ацетонитрилом и эфиром (по 10 мл). Загрузка носителя по нуклеозиду, определенная по поглощению диметокситритильного катиона [31], составила 43.7 мкмоль/г.

2-[4-(Фенилэтинил)фенил]бензоказол (4-(2-бензоказолил)толан) (XIII). К перемешиваемому в атмосфере аргона раствору 1.00 г (3.11 ммоль) 2-(4-иодфенил)бензоказола (Ia) в 25 мл THF последовательно прибавили фенилацетилен (0.41 мл, 3.74 ммоль), Et₃N (0.9 мл, 6.46 ммоль), CuI (59 мг, 0.31 ммоль), Ph₃P (82 мг, 0.31 ммоль) и PdCl₂ (43 мг, 0.16 ммоль) и продолжали перемешивать 30 мин при комнатной температуре. Реакционную смесь разбавили 200 мл хлороформа и последовательно промыли 100 мл порциями воды, 1% раствора лимонной кислоты, 3% раствора диаммониевой соли EDTA (трижды) и снова воды. Органическую фазу высушили, упарили и остаток хроматографировали на силикагеле в градиенте концентрации бензола (25 → 55%) в петролейном эфире. После упаривания объединенных фракций остаток перекристаллизовали из смеси петролейный эфир–толуол 5 : 1. Выход соединения (XIII) 0.564 г (61%), т. пл. 192–193°C; R_f 0.22 (бензол). Масс-спектр, m/z⁺: 294; рассчитано 295.34 (C₂₁H₁₃NO).

Авторы выражают благодарность Ю.П. Козьмину (ИБХ РАН) за регистрацию масс-спектров, Э.И. Лажко (НИИНА) за регистрацию ³¹P-ЯМР-спектра, Д.С. Стеценко (ИБХ РАН) за обсуждение и Г.В. Малееву (ВКНЦ) за помощь в проведении некоторых экспериментов. ¹H-ЯМР-спектры получены на установке “Комплекс ЯМР-спектрометрии” при финансовой поддержке Миннауки России (регистрационный номер 96-03-08).

Работа выполнена при поддержке Российского фонда фундаментальных исследований, грант № 97-03-32927а.

СПИСОК ЛИТЕРАТУРЫ

1. Коршун В.А., Манасова Е.В., Балакин К.В., Прокоренко И.А., Бучачкий А.Г., Берлин Ю.А. // Биоорган. химия. 1996. Т. 22. С. 923–925.
2. Prober J.M., Trainor G.L., Dam R.J., Hobbs F.W., Robertson C.W., Zagursky R.J., Cocuzza A.J., Jensen M.A., Baumeister K. // Science. 1987. V. 238. P. 336–341.
3. Confalone P.N. // J. Heterocycl. Chem. 1990. V. 27. P. 31–46.
4. Lee L.G., Connell C.R., Woo S.L., Cheng R.D., McAr- dle B.F., Fuller C.W., Halloran N.D., Wilson R.K. // Nucl. Acids Res. 1992. V. 20. P. 2471–2483.
5. Rosenblum B.B., Lee L.G., Spurgeon S.L., Khan S.H., Menchen S.M., Heiner C.R., Chen S.M. // Nucl. Acids Res. 1997. V. 25. P. 4500–4504.
6. De Mesmaeker A., Häner R., Martin P., Moser H.E. // Acc. Chem. Res. 1995. V. 28. P. 366–374.
7. Freier S.M., Altmann K.-H. // Nucl. Acids Res. 1997. V. 25. P. 4429–4443.
8. Wagner R.W., Matteucci M.D., Lewis J.G., Gutierrez A.J., Moulds C., Froehler B.C. // Science. 1993. V. 260. P. 1510–1513.
9. Fenster S.D., Wagner R.W., Froehler B.C., Chin D.J. // Biochemistry. 1994. V. 33. P. 8391–8398.
10. Moulds C., Lewis J.G., Froehler B.C., Grant D., Huang T., Milligan J.F., Matteucci M.D., Wagner R.W. // Biochemistry. 1995. V. 34. P. 5044–5053.
11. Wagner R.W., Matteucci M.D., Grant D., Huang T., Froehler B.C. // Nature Biotechnol. 1996. V. 14. P. 840–844.
12. Flanagan W.M., Su L.L., Wagner R.W. // Nature Biotechnol. 1996. V. 14. P. 1139–1145.
13. Flanagan W.M., Kothavale A., Wagner R.W. // Nucl. Acids Res. 1996. V. 24. P. 2936–2941.
14. Gutierrez A.J., Matteucci M.D., Grant D., Matsumura S., Wagner R.W., Froehler B.C. // Biochemistry. 1997. V. 36. P. 743–748.
15. Clegg R.M. // Meth. Enzymol. 1992. V. 211. P. 353–388.
16. Wu P., Brand L. // Anal. Biochem. 1994. V. 218. P. 1–13.
17. Selvin P.R. // Meth. Enzymol. 1995. V. 246. P. 300–334.
18. Clegg R.M. // Fluorescence Imaging Spectroscopy and Microscopy / Eds X.F. Wang, B. Herman. New York: Wiley, 1996. P. 179–252.
19. Glazer A.N., Mathies R.A. // Curr. Opin. Biotechnol. 1997. V. 8. P. 94–102.
20. Ota N., Hirano K., Warashina M., Andrus A., Mullah B., Hatanaka K., Taira K. // Nucl. Acids Res. 1998. V. 26. P. 735–743.
21. Reiser A., Leyshon L.J., Saunders D., Mijovic M.V., Bright A., Bobie J. // J. Am. Chem. Soc. 1972. V. 94. P. 2414–2421.
22. Roussilhe J., Despax B., Lopez A., Paillois N. // J. Chem. Soc., Chem. Commun. 1982. P. 380–381.
23. Roussilhe J., Fargin E., Lopez A., Despax B., Paillois N. // J. Org. Chem. 1983. V. 48. P. 3736–3741.
24. Fery-Forgues S., Paillois N. // J. Org. Chem. 1986. V. 51. P. 672–677.
25. Коршун В.А., Манасова Е.В., Берлин Ю.А. // Биоорган. химия. 1997. Т. 23. С. 324–386.
26. Varma R.S., Saini R.K., Prakash O. // Tetrahedron Lett. 1997. V. 38. P. 2621–2622.
27. Caruthers M.H., Barone A.D., Beaujage S.L., Dodds D.R., Fisher E.F., McBride L.J., Matteucci M., Stabinsky Z., Tang J.-Y. // Meth. Enzymol. 1987. V. 154. P. 287–313.
28. Damha M.J., Giannaris P.A., Zabarylo S.V. // Nucl. Acids Res. 1990. V. 18. P. 3813–3821.
29. Robins M.J., Barr P.J. // J. Org. Chem. 1983. V. 48. P. 1854–1862.
30. So Y.-H., Zaleski J.M., Murlick C., Ellaboudy A. // Macromolecules. 1996. V. 29. P. 2783–2795.
31. Atkinson T., Smith M. // Oligonucleotide Synthesis: A Practical Approach // Ed. M.H. Gait. IRL Press: Oxford, 1984. P. 36–81.

Reagents for Introducing a Fluorescent Deoxyuridine 2-Phenylbenzoxazole Derivative into Oligonucleotides

E. V. Malakhova*, A. D. Malakhov*, S. V. Kuznitsova*, O. P. Varnavskii**,
A. P. Kadutskii***, D. T. Kozhich****, V. A. Korshun*, and Yu. A. Berlin*#

*Shemyakin-Ovchinnikov Institute of Bioorganic Chemistry, Russian Academy of Sciences,
ul. Miklukho-Maklaya 16/10, GSP-7 Moscow, 117871 Russia

**Lebedev Physical Institute, Russian Academy of Sciences, Moscow, Russia

***Institute of Physical Organic Chemistry, National Academy of Sciences of Belarus, Minsk, Belarus

****Medico-biotechnological Institute, Belbiopharm, Minsk, Belarus

Using the Heck–Sonogashira reaction, a new fluorescent nucleoside, 5-[4-(2-benzoxazolyl)phenyl]ethynyl-2'-deoxyuridine, was synthesized and converted into oligonucleotide-labeling reagents, namely, the 3'-phosphoramidite and a functionalized solid support.

Key words: modified nucleosides, 2-phenylbenzoxazole

To whom correspondence should be addressed; e-mail: yuber@ibch.sciobc.ras.ru.